

## PALINOLOGÍA DE LOS DEPÓSITOS DEL TERCARIO SUPERIOR EN LA REGIÓN CENTRAL ANDINA: CASO FORMACIÓN MUCUCHIES

PALYNOLOGY OF THE UPPER TERTIARY RESERVOIRS IN THE CENTRAL ANDEAN REGION: CASE MUCUCHIES FORMATION

Laura Pimstein<sup>1</sup> Rocío Segnini<sup>2</sup> Omar Guerrero<sup>3</sup> María Monsalve<sup>4</sup> Emilio Sánchez<sup>5</sup>

Recibido: 11-2-09; Aprobado: 3-3-09.

### RESUMEN

El presente trabajo representa una contribución al conocimiento sedimentológico de la Formación Mucuchies, aflorante en la Región Central Andina. La unidad aflora al norte del río Chama, cercana a la población de Mucuchies. Litológicamente se reconocen secuencias de areniscas desleznables de grano grueso a fino, conglomerados de arenas, limos y abundantes horizontes delgados de carbón y óxido de hierro. En general, los cuerpos presentan geometrías tabulares y espesores variables. El espesor de la unidad se estima en 200 m de secuencias parcialmente cubiertas y aflorantes. La edad fue determinada a partir de análisis palinológicos en carbones y lutitas grises, los cuales arrajaron palinomorfos depositados durante el Mioceno Tardío-Plioceno en un ambiente continental-planicie aluvial, destacado por la presencia y diversidad de esporas de helechos y de hongos y la ausencia de elementos de microplancton marino.

**Palabras clave:** Andes venezolanos, Formación Mucuchies, Mioceno Tardío, Palinología.

### ABSTRACT

This work represents a contribution to the sedimentological knowledge of the Mucuchies Formation, outcropping in the Central Andes. The unit outcrops north to the Chama River, near Mucuchies town. Inconsequent coarse-grained to fine sandstone sequences are lithologically recognized, conglomerates, silt and abundant thin horizons of coal and iron oxide. Generally bodies present tabular geometry and variable thickness. The thickness of the unit is estimated at 200 m of partially covered sequences and outcrops. The age was determined from palynological analysis in coals and grey shales, which yielded palynomorphs deposited during Late Miocene-Pliocene in a continental-alluvial plain, highlighted by the presence and diversity of fern spores and fungus and the absence of marine microplankton elements.

**Key words:** Late Miocene-Pliocene, Mucuchies Formation, Palynology, Venezuelan Andes.

### INTRODUCCIÓN

La cordillera andina de Venezuela tiene una orientación N 45°-50° E y se extiende por el occidente del país. Los Andes de Mérida se encuentran limitados por la cuenca de Maracaibo al NO conformando esta vertiente el flanco norandino que ocupa el norte de los estados de Táchira, Mérida, Trujillo y parte de Lara; el flanco surandino es la otra vertiente que mira hacia la cuenca de Barinas-Apure al NE. En la cordillera andina afloran rocas desde el Precámbrico hasta el Cuaternario. La sucesión estratigráfica del Terciario es predominantemente siliciclastica; comienza con el Grupo Orocué de edad Paleoceno sobre el que se disponen las formaciones Carbonera y Mirador del Econo. El Oligoceno está representado por la Formación León de origen lacustre con un espesor máximo aproximado de 500 m; consta de lutitas moteadas y bioturbadas que se depositaron en ambientes lacustres (Maravall, 1993). El Mioceno está constituido por el Grupo Guayabo, que integra las formaciones Palmer, Isnotú y Beliique. La Formación Beliique de 4,360 m de espesor, es la superior del Grupo Guayabo y se subdividió a su vez en dos miembros: Vichú (el basal) y Sanalejos (González de Juaná et al., 1980). El Miembro Vichú está compuesto por lutitas con intercalaciones de areniscas de grano fino, representa el inicio de un nuevo ciclo con el que se instala de nuevo en la región las llanuras costeras con lagos salobres y pantanos marginales. El Miembro Sanalejos está constituido por areniscas de grano grueso y conglomerados que representan los depósitos mafíticos del borde de cuenca, abanicos aluviales progradantes, cuya edad es del Mioceno tardío-Plioceno. Equivalente lateral a esta unidad se reconocen depósitos sedimentarios denominados Formación Mucuchies. El

objetivo de este trabajo es dar a conocer los resultados palinológicos obtenidos en el estudio de las muestras recogidas durante el levantamiento de algunas secciones de las secuencias neógenas de los alrededores de la población de Mucuchies, región central andina.

### ME TODO Y ANÁLISIS DE RESULTADOS

El análisis palinológico de las muestras tiene como finalidad identificar la existencia y tipo de polen, para definir la edad y el paleoambiente de sedimentación. Se procesaron un total de 9 muestras de superficie (Tabla I) en el laboratorio de bioestratigrafía de INTEVEP, S. A. Se utilizaron los métodos estándar para la preparación de las muestras palinológicas, el cual se inició con el pesado de 15 a 20 gramos de material. Estas proporciones fueron tratadas con HCl al 37%, se neutralizó posteriormente con HF al 50%. El residuo total fue pasado por un tamiz de 10 micrones y luego tratado nuevamente con HCl al 37% y hervido por 1/2 hora. Este material fue tamizado y tratado con HNO<sub>3</sub> al 42%, calculando el tiempo de oxidación. En algunos casos se le agregó solución de KOH al 10% por un tiempo de 10 a 20 minutos. Luego de un último tamizado se efectuó el montaje de láminas. El análisis palinológico se efectuó a una lámina completa de cada

<sup>1</sup>Ing. Geo. Grupo Terra, ULA, e-mail: laurapimstein@yahoo.es

<sup>2</sup>Ing. Geo., Grupo Terra, ULA, e-mail: segniniroci@yahoo.es

<sup>3</sup>Geog. Grupo Terra, ULA, e-mail: oguerrero@ula.ve

<sup>4</sup>Ing. Geo. Grupo Terra, ULA, e-mail: mariamonsalve@ula.ve

<sup>5</sup>Br. ULA, e-mail: emiliosanchez5@yahoo.com.mx

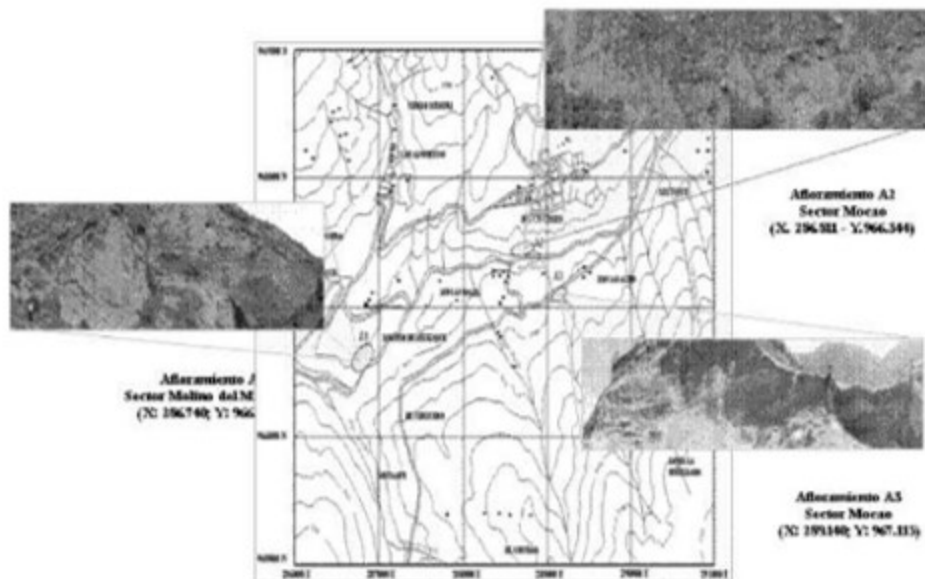


Figura 1. Ubicación del área de estudio: secciones aflorantes del Neógeno en las cercanías del pueblo de Mucuchies, Venezuela.

muestra, con un microscopio ZEISS Axioskop 2 con magnificación de 100x, 63x, 20x.

Las muestras A2-P1, A2-P2 y A1-P1 arrojaron una edad de Mioceno tardío por la presencia conjunta de la especie de polen *Echitrícorporites spinosus* (Mioceno tardío-Plioceno), y las especies de esporas *Foveothíletes ornatos*, la cual tiene un rango de edad Mioceno temprano-Mioceno tardío (Lorente, 1986) y *Polypodiaceoisporites pseudosipulatus* (Mioceno temprano-Reciente). El ambiente de sedimentación sugerido por el contenido floral es de continental-planicie aluvial, destacado por la presencia y diversidad de esporas de helechos y esporas de hongos y la ausencia de elementos del microplancton marino. La materia orgánica que prevalece es tejido cuticular de las plantas y leñoso, mal escogido, de color marrón claro y oscuro. Mientras, las muestras A2-P4 y A2-P7 arrojan una edad de Mioceno tardío a Plioceno por la presencia de la especie de polen *Echitrícorporites spinosus*, la cual tiene un rango estratigráfico Mioceno tardío a Plioceno (Lorente, 1986). El ambiente de sedimentación sugerido por el contenido floral es muy escaso y monoespecífico. Sigue la ausencia del microplancton marino.

La materia orgánica que prevalece es tejido leñoso, angular, moderadamente

bien escogido, de color marrón oscuro en la muestra A2-P4 y marrón claro en la muestra A2-P7. Al analizar el polen halfford en estas secciones, encontramos que existe similitud con el contenido floral mencionado por Jiménez, D. (2005), en el contacto entre los Miembros Vichu y Sanakjós de la Formación Belojique. En ambos muestreos se halla la especie de espora *Polypodiaceoisporites pseudosipulatus*, la cual tiene un rango de edad del Mioceno temprano-Holoceno (Lorente, 1986), sugiriendo una posible correlación estratigráfica entre estas unidades. Adicionalmente, también se hallaron *Polypodiaceoisporites sp.*, *Psilatriletes sp.*, en los análisis palinológicos de ambas unidades.

#### CONCLUSIÓN

El análisis palinológico permite asignar una edad de Mioceno Tardío- Plioceno, por relaciones de rangos de coincidencia de edad de los palinomorfos guías, y nos asegura que los afloramientos A1 y A2 corresponden a la misma formación geológica. El afloramiento A3, por su contenido estéril, queda con su edad indeterminada y no puede ser considerado como parte del sistema deposicional de la Formación Mucuchies.

#### AGRADECIMIENTO:

Los autores agradecen al Consejo de Desarrollo Científico Humanístico y

Tecnológico (CDCHT-ULA) por su aporte económico al proyecto I-772-04-02-B, y a INTEVEP-PDVSA.

#### REFERENCIAS BIBLIOGRÁFICAS

- González de Juana, C., Iturralde, J., Picard, X. (1980). Geología de Venezuela y de sus cuencas petroleras. Tomos III. Foninves. Venezuela. 1031.
- Jiménez, D. (2005). *Modelo Sedimentológico de la Formación Belojique en el Flanco Norte de los Andes Centrales Venezolanos*. Trabajo Final de Grado (inédito). Universidad de los Andes. Facultad de Ingeniería. Escuela de Geología, Mérida, Venezuela. 167.
- Lorente, M.A. (1986). Palynology and Palynofacies of the Upper Tertiary in Venezuela. Cramer, Berlin-Suttgart, Dissertationes Botanicae, No. 99, 222.
- Maraven (1993). Cretaceous and Paleogene sedimentation in the Southwestern Venezuelan Andes. Field Trip 4. AAPG - Soc.Ven.Geo. 67.

Tabla I. Resultados palinológicos de las muestras obtenidas en la Formación Mucuchies.

Edad	Litoestrat.	Palinología Lorente (1986)	Sección y muestras	Especies	Ambientes sedimentarios
Pleist.	Aluviones	IX Alnipollenites			Abanicos aluviales y terrazas fluviales
Plioceno		VIII Fenestrites longispinosus	↑ A1P1 A2P1 A2P2 A2P4 ↓ A2P7	Bombacacidites ciriloensi Pachydermites diederixi Foveotriletes ornatus Polydodaceisporites usmensis Polydodaceisporites pseud. Echitricolporites spinosus Nijssenosporites fossulatus Retricolporites sp. Verrucatotrilobites sp. Striaticolporites catatumbus	Abanicos aluviales progradantes
Mioceno	Tardío	VII Asteraceae			Llanura costera Lagos salobres con pantanos marginales
Med.		VI Grimsdalea			Ríos trenzados de arenas y gravías

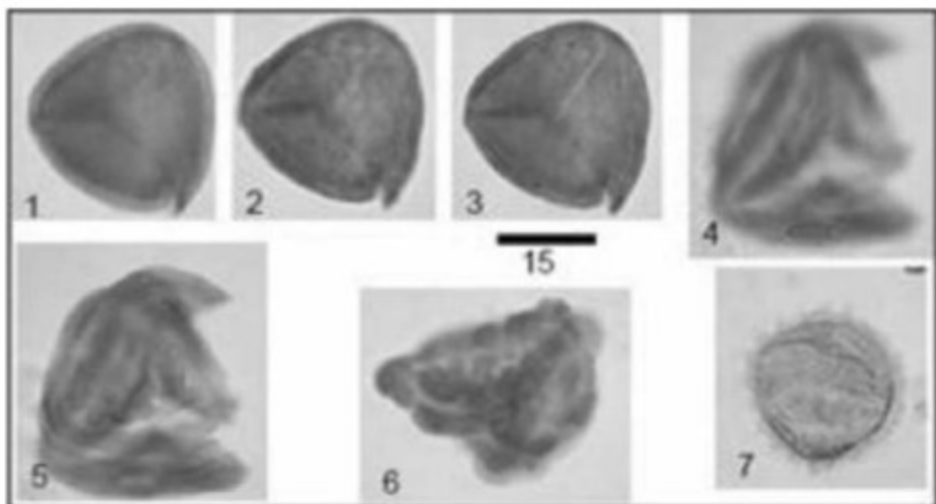


Figura 2. Muestra de parte del contenido floral hallado en el análisis palinológico de las muestras correspondientes a los afloramientos A1 y A2. 1: Foveotriletes ornatus, 100x, Foco bajo 2: F. ornatus, 100x, Foco medio 3: F. ornatus, 100x, Foco alto 4: Polydodaceisporites pseudopollulus, 100x, Foco bajo 5: P. pseudopollulus, 100x, Foco alto 6: Verrucatotrilobites cf. bullatus, 100x 7: Echitricolporites spinosus, 100x.